

MATERIALI SUPPLEMENTARI

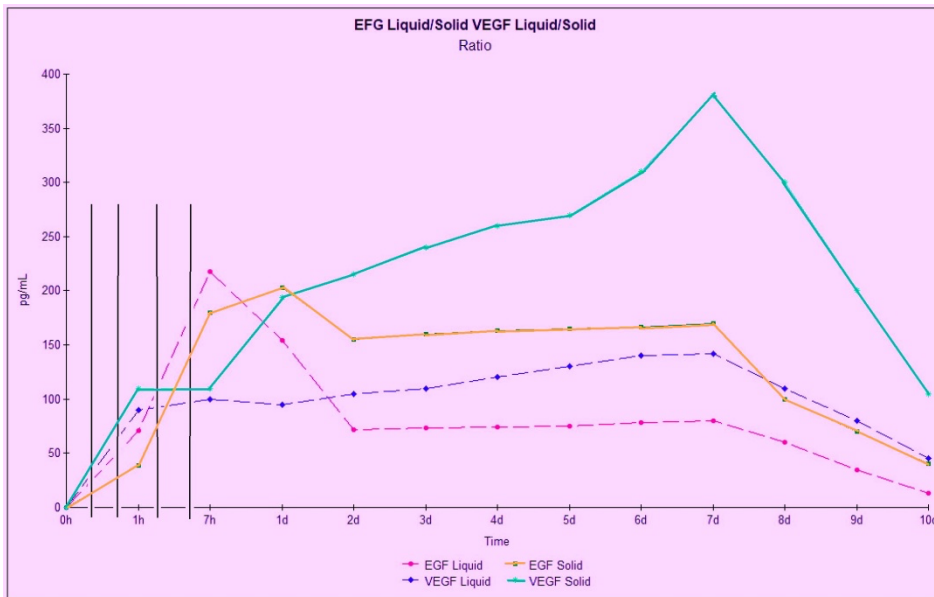
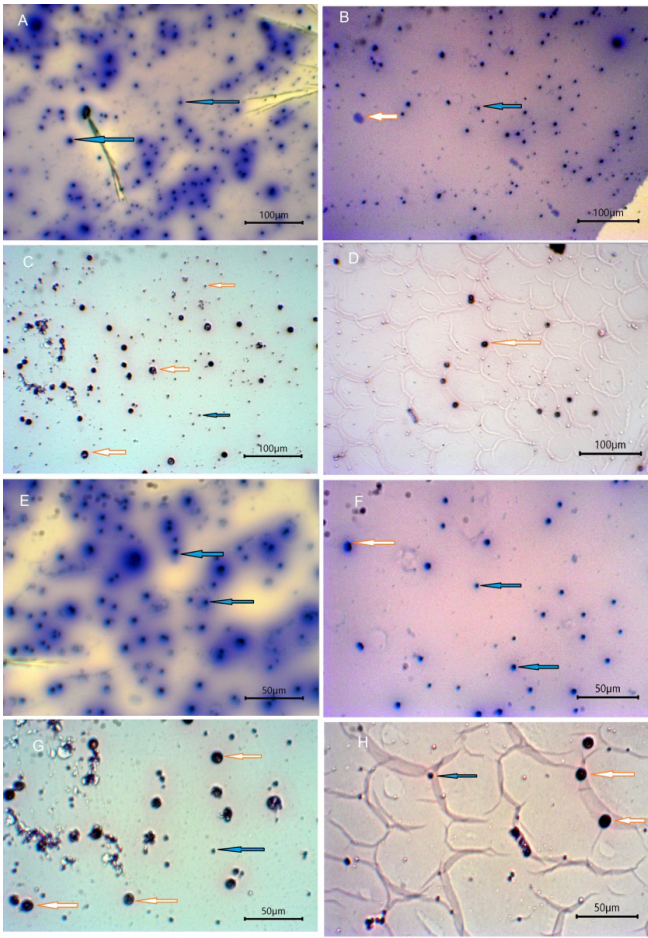


Figura S1. Rapporto tra rilascio di Fattore di crescita epidermico e fattore di crescita vaso-endoteliale tra fibrina ricca di piastrine solida e fibrina ricca di piastrine liquida (da Zwitter, 2022 modificata).¹³



Legenda:



Figura S2. A) C-PRF liquid 2500 rpm x 8 min (provetta Vacumed FL), col. Blu di Metilene, ingr.10 x, Si evidenziano quasi esclusivamente piastrine, sono presenti pochi leucociti; B) C-PRF liquid 2500 rpm x 8 min (provetta S-PRF Sticky) col. Blu di Metilene, ingr.10 x, Si evidenziano meno piastrine e leucociti rispetto ad A; C) C-PRF liquid 2500 rpm x 8 min (provetta Vacumed FL) col. May-Grünwald ingr. 10 x, si evidenziano leucociti (alcuni granulociti e molti linfociti) e molte piastrine; D) C-PRF liquid 2500 rpm x 8 min (provetta S-PRF Sticky) col. May-Grünwald ingr. 10 x, Si evidenziano molte piastrine, scarsi linfociti; E) C-PRF liquid 2500 rpm x 8 min (provetta Vacumed FL) col. Blu di Metilene, ingr.20 x, Si evidenziano, alcuni granulociti e linfociti e molte piastrine; F) C-PRF liquid 2500 rpm x 8 min (provetta S-PRF Sticky) col. Blu di Metilene, ingr.20 x, Si evidenziano solo scarse piastrine; G) C-PRF liquid 2500 rpm x 8 min (provetta Vacumed FL) col. May-Grünwald, ingr.20 x, Si evidenziano, alcuni granulociti e linfociti e scarse piastrine; H) C-PRF liquid 2500 rpm x 8 min

(provetta S-PRF Sticky) col. May-Grünwald, ingr.20 x, Si evidenziano scarsissime piastrine e pochi linfociti (A, B, C, D barra di scala 100 µm); (E, F, G, H barra di scala 50 µm).

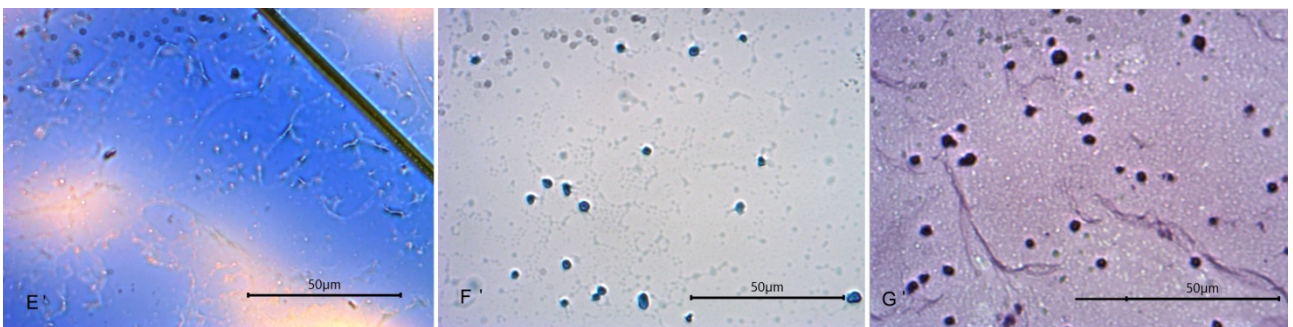
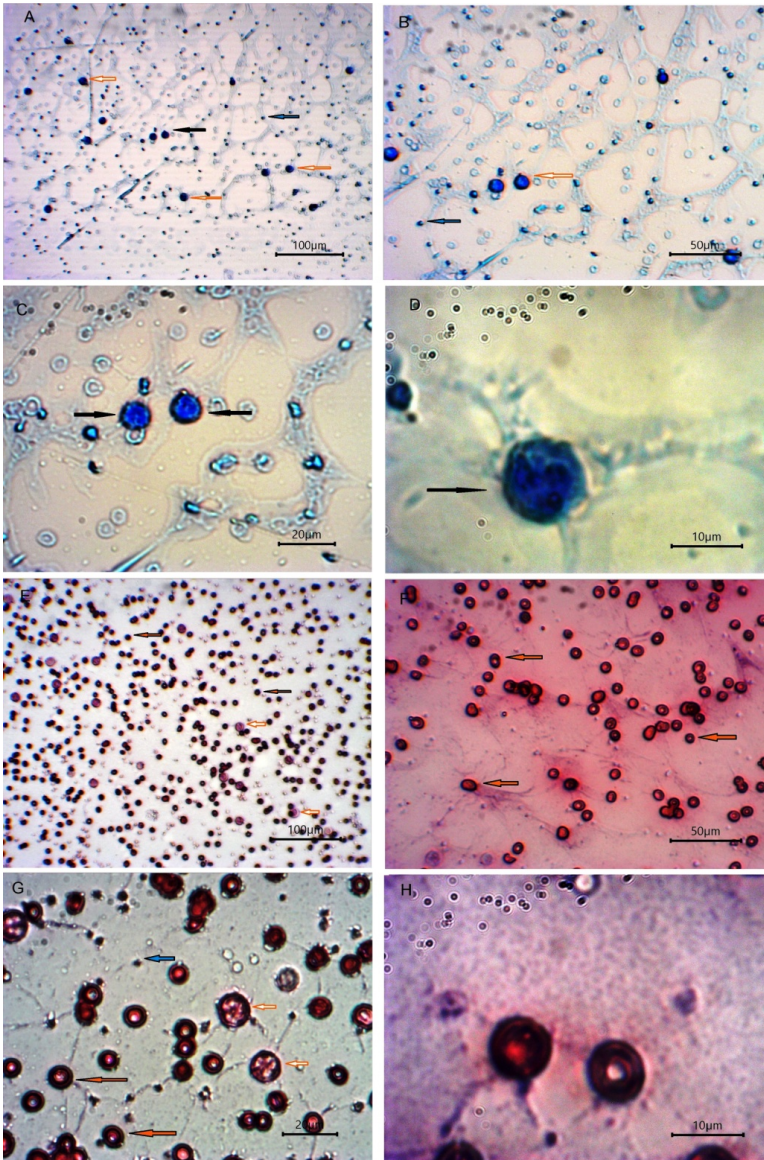


Figura S3. A) A-PRF liquid 1300 rpm x 5 min (Verde S-PRF sticky) ingr. 10 x, Si evidenziano molte piastrine e molti linfociti (Blu di Metilene)(barra di scala 100 µm); B) A-PRF liquid 1300 rpm x 5 min (Verde S-PRF sticky) ingr. 20x, Si evidenziano molte piastrine e molti linfociti (Blu di Metilene)(barra di scala 50 µm); C) A-PRF liquid 1300 rpm x 5 min (Verde S-PRF sticky) ingr. 40x, Si evidenziano molte piastrine e molti linfociti (Blu di Metilene)(barra di scala 20 µm); D) A-PRF liquid 1300 rpm x 5 min (Verde S-PRF sticky) ingr. 80x, Si evidenziano molte piastrine e molti linfociti (Blu di Metilene)(barra di scala 10 µm); E) A-PRF liquid 1300 rpm x 5 min (Verde S-PRF sticky) ingr. 10 x, Si evidenziano molte piastrine e molti linfociti (Blu di Metilene)(barra di scala 50 µm); F) A-PRF liquid 1300 rpm x 5 min (Verde S-PRF sticky) ingr. 20x, Si evidenziano molte piastrine e molti linfociti (Blu di Metilene)(barra di scala 50 µm); G) A-PRF liquid 1300 rpm x 5 min (Verde S-PRF sticky) ingr. 40x, Si evidenziano molte piastrine e molti linfociti (Blu di Metilene)(barra di scala 50 µm); H) A-PRF liquid 1300 rpm x 5 min (Verde S-PRF sticky) ingr. 80x, Si evidenziano molte piastrine e molti linfociti (Blu di Metilene)(barra di scala 10 µm).

di Metilene) (barra di scala 50 μm); C) A-PRF liquid 1300 rpm x 5 min (Verde S-PRF sticky) ingr. 40x, si evidenziano molte piastrine e granulociti neutrofili (Blu di Metilene) (barra di scala 20 μm); D) A-PRF liquid 1300 rpm x 5 min (Verde S-PRF sticky) ingr. 100x, si evidenzia un Granulocita Neutrofilo (Blu di Metilene) (barra di scala 10 μm); E) A-PRF liquid 1300 rpm x 5 min (Verde S-PRF sticky) ingr. 10x, si evidenziano molte piastrine, molti eritrociti e molti linfociti (May-Grünwald) (barra di scala 100 μm); F) A-PRF liquid 1300 rpm x 5 min (Verde S-PRF sticky) ingr. 20x, si evidenziano molte piastrine, molti eritrociti (colorazione Blu di Metilene) (barra di scala 50 μm); G) A-PRF liquid 1300 rpm x 5 min (Verde S-PRF sticky) ingr. 40x, si evidenziano molte piastrine, molti eritrociti e molti linfociti (May-Grünwald) (barra di scala 20 μm); H) A-PRF liquid 1300 rpm x 5 min (Verde S-PRF sticky) ingr. 100x ad immersione; si evidenziano eritrociti (colorazione Blu di Metilene) (barra di scala 10 μm). E') A-PRF liquid 1300 rpm x 5 min (Vacumed FL) ingr. 40x, si evidenziano scarsi linfociti (colorazione Blu di Metilene) liquido di spremitura; F') A-PRF liquid 1300 rpm x 5 min (Vacumed FL) ingr. 40x, si evidenziano molti linfociti (colorazione Blu di Metilene); G') A-PRF liquid 1300 rpm x 5 min (Vacumed FL) ingr. 60x, si evidenziano molte piastrine (colorazione May-Grünwald) (in tutte le immagini barra di scala 50 μm).

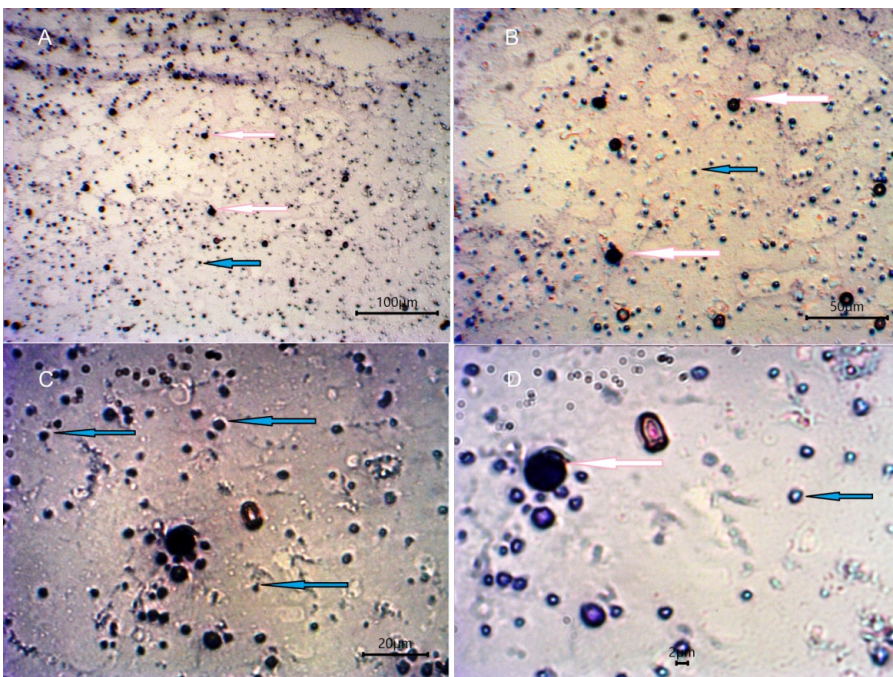


Figura S4. Confronto tra A-PRF Liquid 1300 rpm x 5' (provetta Vacumed FL) colorazione mista Blu di Toluidina e May-Grünwald. A) A-PRF liquid 1300 rpm x 5 min (Vacumed FL) ingr. 10x,

si evidenziano molte piastrine e molti linfociti (barra di scala 100 μm); B) A-PRF liquid 1300 rpm x 5 min (Vacumed FL) ingr. 20x, Si evidenziano molte piastrine e molti linfociti (barra di scala 50 μm); C) A-PRF liquid 1300 rpm x 5 min (Vacumed FL) ingr. 40x, si evidenziano molte piastrine e linfociti (barra di scala 20 μm); D) A-PRF liquid 1300 rpm x 5 min (Vacumed FL) ingr. 60x, si evidenzia un linfocita e molte piastrine (barra di scala 2 μm); in tutte le immagini colorazione mista Blu di Toluidina e May-Grünwald.

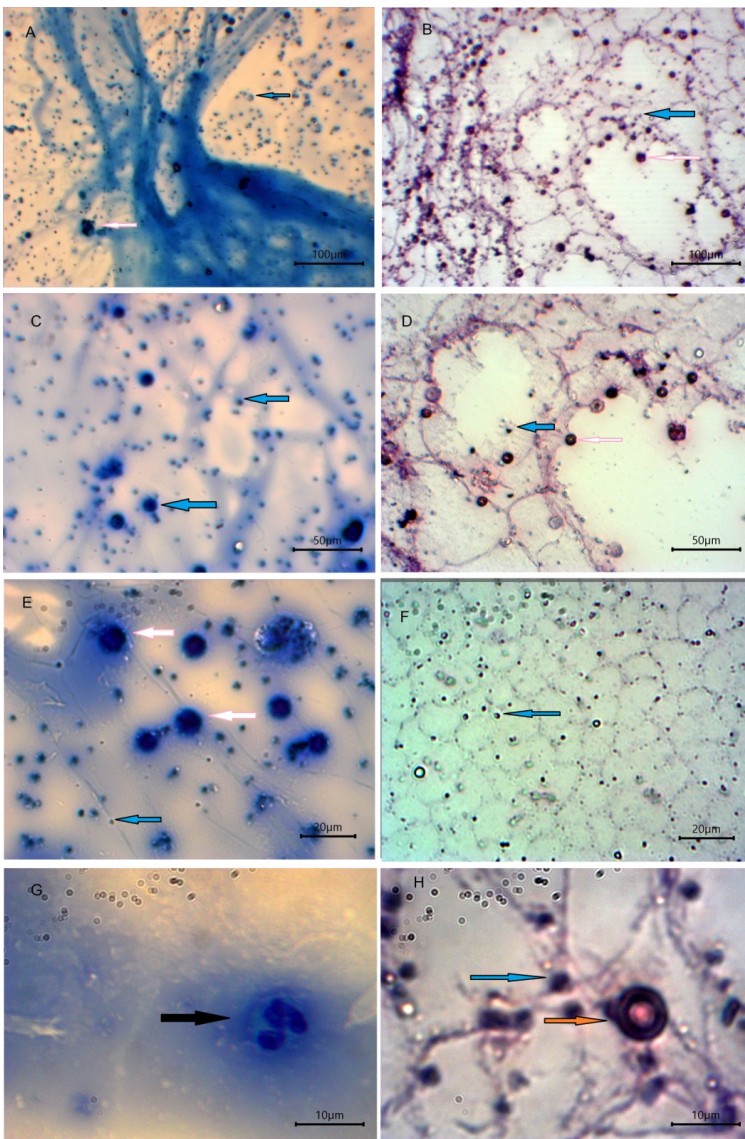


Figura S5. Confronto tra i-PRF 700 rpm x 5' (provetta Vacumed FL) colorazione Blu di Metilene a sinistra e May-Grünwald a destra. A) i-PRF 700 rpm x 5 min (provetta Vacumed FL) ingr. 10x, si evidenziano molte piastrine e molti linfociti (Blu di Metilene) (barra di scala 100 μm); B) i-PRF 700 rpm x 5 min (provetta Vacumed FL) ingr. 10x, si evidenziano molte

piastrine e molti linfociti (May-Grünwald) (barra di scala 100 μm); C) i-PRF 700 rpm x 5 min (Vacumed FL) ingr. 20x, si evidenziano molte piastrine e granulociti neutrofili (Blu di Metilene) (barra di scala 50 μm); D) i-PRF 700 rpm x 5 min (Vacumed FL) ingr. 20x, si evidenziano linfociti (May-Grünwald) (barra di scala 50 μm) e moltissime piastrine; E) i-PRF 700 rpm x 5 min (Vacumed FL) ingr. 40x, si evidenziano molte piastrine e molti linfociti (Blu di Metilene) (barra di scala 20 μm); F) i-PRF 700 rpm x 5 min (Vacumed FL) ingr. 40x, si evidenziano molte piastrine e scarsi eritrociti (colorazione May-Grünwald) (barra di scala 20 μm); G) i-PRF 700 rpm x 5 min (Vacumed FL) ingr. 60x, Si evidenzia un Granulocita neutrofilo (Blu di Metilene) (barra di scala 10 μm); H) i-PRF 700 rpm x 5 min (Vacumed FL) ingr. 60x; si evidenzia un eritrocita e moltissime piastrine (colorazione May-Grünwald) (barra di scala 10 μm).

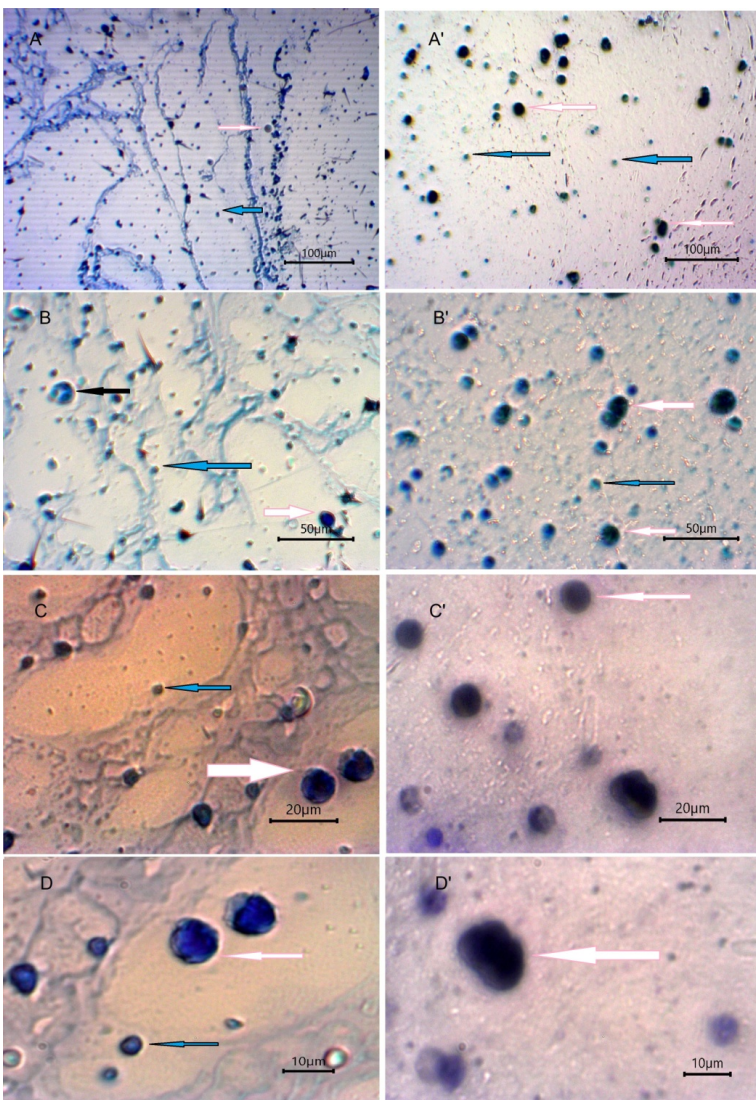


Figura S6. Confronto tra i-PRF 700 rpm x 5' (Verde S-PRF sticky) colorazione Blu di Metilene a sinistra e May-Grünwald a destra. A) i-PRF 700 rpm x 5 min (provetta Verde S-PRF sticky) ingr. 10x, Si evidenziano molte piastrine e molti linfociti (Blu di Metilene) (barra di scala 100 μm); A') i-PRF 700 rpm x 5 min (provetta Verde S-PRF sticky) ingr. 10x, si evidenziano molte piastrine e molti linfociti (May-Grünwald) (barra di scala 100 μm); B) i-PRF 700 rpm x 5 min (Verde S-PRF sticky) ingr. 20x, si evidenziano molte piastrine e linfociti e un granulocita neutrofilo (Blu di Metilene) (barra di scala 50 μm); B') i-PRF 700 rpm x 5 min (Verde S-PRF sticky) ingr. 20x, si evidenziano linfociti (May-Grünwald) (barra di scala 50 μm) e moltissime piastrine; C) i-PRF 700 rpm x 5 min (Verde S-PRF sticky) ingr. 40x, si evidenziano molte piastrine e molti linfociti (Blu di Metilene) (barra di scala 20 μm); C') i-PRF 700 rpm x 5 min (Verde S-PRF sticky) ingr. 40x, si evidenziano molte piastrine e linfociti (colorazione May-Grünwald) (barra di scala 20 μm); D) i-PRF 700 rpm x 5 min (Verde S-PRF sticky) ingr. 60x, si evidenziano linfociti e molte piastrine (Blu di Metilene) (barra di scala 10 μm); D') i-PRF 700 rpm x 5 min (Verde S-PRF sticky) ingr. 60x; si evidenzia un linfocita e moltissime piastrine (colorazione May-Grünwald) (barra di scala 10 μm).

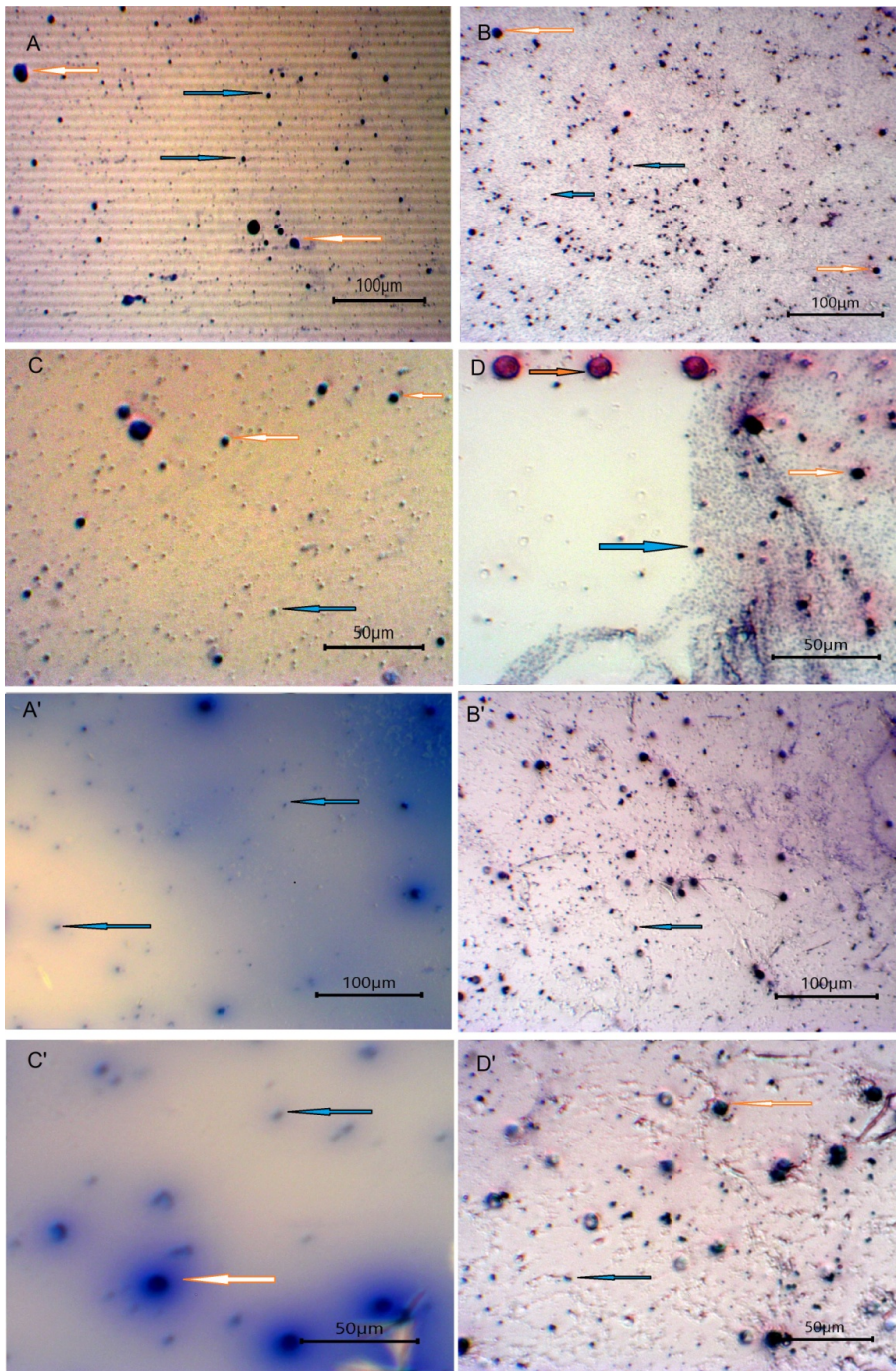


Figura S7. Confronto tra i-PRF 3300 rpm x 3' (Vacumed FL e Verde S-PRF sticky) colorazione Blu di Metilene a sinistra e May-Grünwald a destra. A) i-PRF 3300 rpm x 3 min (provetta Vacumed FL) ingr. 10x, si evidenziano molte piastrine e molti linfociti (Blu di Metilene) (barra di scala 100 μm); B) i-PRF 3300 rpm x 3 min (provetta Vacumed FL) ingr. 10x, si evidenziano molte piastrine e molti linfociti (May-Grünwald) (barra di scala 100 μm); C) i-PRF 3300 rpm x 3 min (Vacumed FL) ingr. 20x, si evidenziano molte piastrine e molti linfociti (Blu di Metilene) (barra di scala 50 μm); D) i-PRF 3300 rpm x 3 min (Vacumed FL) ingr. 20x, si evidenziano linfociti (May-Grünwald) (barra di scala 50 μm), eritrociti e moltissime piastrine; A') i-PRF 3300 rpm x 3 min (Verde S-PRF sticky) ingr. 10x, si evidenziano molte piastrine e pochi linfociti

(Blu di Metilene) (barra di scala 100 μm); B') i-PRF 3300 rpm x 3 min (Verde S-PRF sticky) ingr. 10x, si evidenziano molte piastrine e molti linfociti (colorazione May-Grünwald) (barra di scala 100 μm); C') i-PRF 3300 rpm x 3 min (Verde S-PRF sticky) ingr. 20x, si evidenziano linfociti e molte piastrine (Blu di Metilene) (barra di scala 50 μm); D') i-PRF 3300 rpm x 3 min (Verde S-PRF sticky) ingr. 20x; si evidenziano molti linfociti e moltissime piastrine (colorazione May-Grünwald) (barra di scala 50 μm).

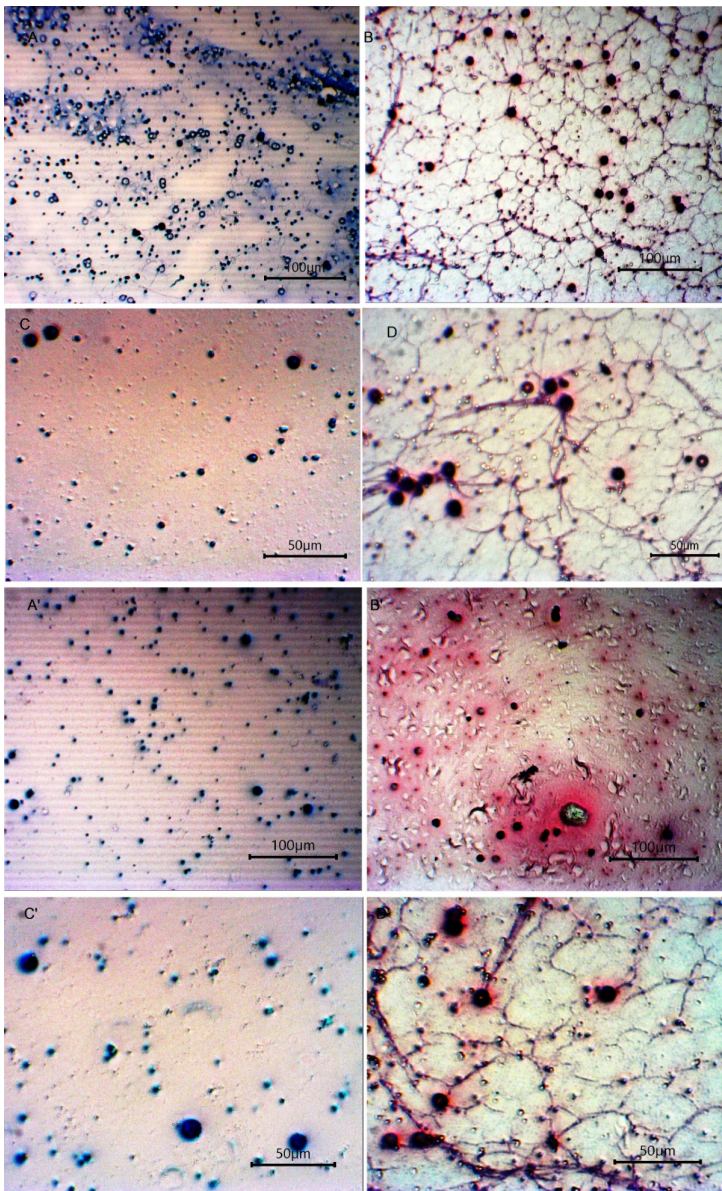


Figura S8. Confronto tra Fibrinogeno Liquido 2700 rpm x 3' (Vacumed FL e Verde S-PRF sticky) colorazione Blu di Metilene a sinistra e May-Grünwald a destra. A) Fibrinogeno Liquido 2700 rpm x 3' (provetta Vacumed FL) ingr. 10x, si evidenziano molte piastrine e molti linfociti (Blu di Metilene) (barra di scala 100 μm); B) Fibrinogeno Liquido 2700 rpm x 3' (provetta

Vacumed FL) ingr. 10x, si evidenziano molte piastrine e molti linfociti con filamenti di fibrina (May-Grünwald) (barra di scala 100 μm); C) Fibrinogeno Liquido 2700 rpm x 3' (Vacumed FL) ingr. 20x, si evidenziano molte piastrine e linfociti (Blu di Metilene) (barra di scala 50 μm); D) Fibrinogeno Liquido 2700 rpm x 3' (Vacumed FL) ingr. 20x, si evidenziano linfociti (May-Grünwald) (barra di scala 50 μm), eritrociti e moltissime piastrine; A') Fibrinogeno Liquido 2700 rpm x 3' (Verde S-PRF sticky) ingr. 10x, si evidenziano molte piastrine e linfociti (Blu di Metilene) (barra di scala 100 μm); B') Fibrinogeno Liquido 2700 rpm x 3' (Verde S-PRF sticky) ingr. 10x, si evidenziano molte piastrine e molti linfociti (colorazione May-Grünwald) (barra di scala 100 μm); C') Fibrinogeno Liquido 2700 rpm x 3' (Verde S-PRF sticky) ingr. 20x, si evidenziano linfociti e molte piastrine (Blu di Metilene) (barra di scala 50 μm); D') Fibrinogeno Liquido 2700 rpm x 3' (Verde S-PRF sticky) ingr. 20x; si evidenziano molti linfociti e moltissime piastrine con filamenti di fibrina (colorazione May-Grünwald) (barra di scala 50 μm).

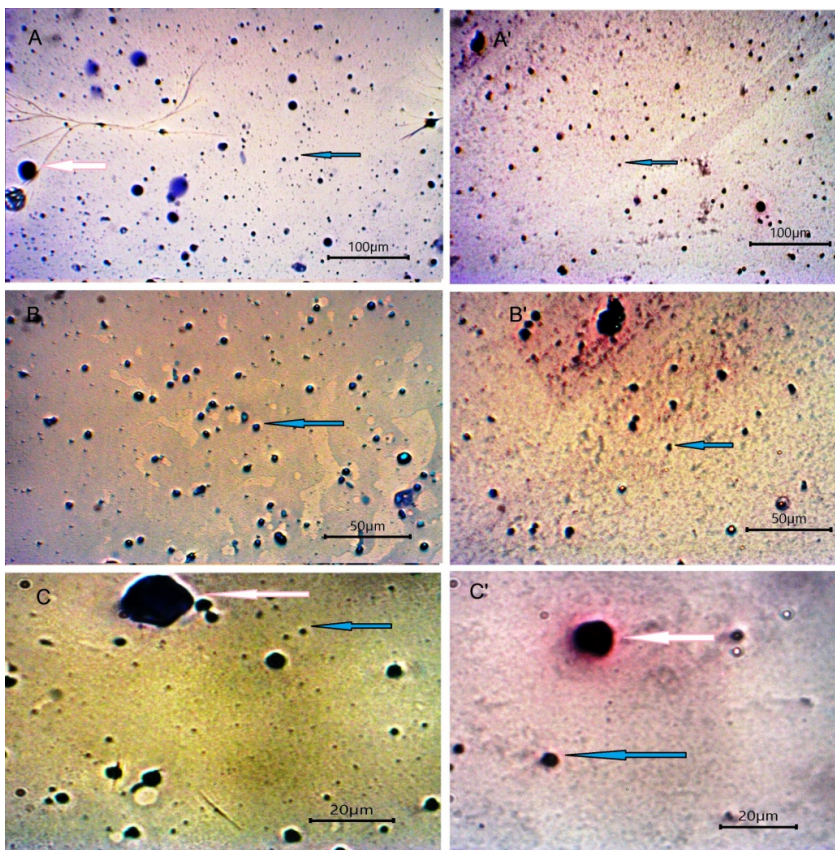


Figura S9. PRP 2200 x 20 min (PRP BioReb Gel); A, B, C colorazione Blu di Metilene; A', B', C' colorazione May-Grünwald; A, A' Ingr.10 \times (barra di scala 100 μm); B, B' Ingr.20 \times (barra di scala 50 μm); C, C' Ingr. 40 \times (barra di scala 10 μm).

Tabella S1. Confronto tra valori di fibrinogeno e cellule in C-PRF Liquid 2500 x 8' in provetta fibrinogeno liquido Vacumed e sangue intero.

Tipo	C-PRF Liquid Vacumed FL (2500 rpm x 8 min)			Sangue			t-test di Student	Test U di Mann-Whitney	Contenuto %
	Media±D.S.	Errore Standard	Mediana	Media±D.S.	Errore Standard	Mediana			
Monociti K/ μ L	0.013±0.035	0.009	0.0	0.49±0.19	0.05	0.50	0.000*	0.000*	2.70
PLT K/ μ L	46.1±37.5	9.68	37.0	219.9±42.0	10.86	218.0	0.000*	0.000*	20.98
Gran.Neutr. %	14.87±20.58	5.31	0.0	62.9±6.5	1.67	60.4	0.000*	0.000*	23.60
Linfociti %	26.96±32.8	8.48	0.0	27.5±5.5	1.42	27.2	0.094	0.361	97.85
Fibrinogeno mg/dl	374.8±155.4	40.1	351.0	425.1±116.8	30.1	401.0	0.247	0.419	88.17

*differenza statisticamente significativa. PLT, piastrine; C-PRF, fibrina ricca di piastrine concentrata; LF, fibrinogeno liquido.

Tabella S2. Confronto tra valori di fibrinogeno e cellule in C-PRF liquid 2500 x 8' in provetta S-PRF Sticky e sangue intero.

Tipo	C-PRF Liquid S-PRF Sticky (2500 rpm x 8 min)			Sangue			t-test di Student	Test U di Mann-Whitney	Contenuto %
	Media±D.S.	Errore Standard	Mediana	Media±D.S.	Errore Standard	Mediana			

Monociti K/ μ L	0.04 \pm 0.13	0.04	0.0	0.41 \pm 0.17	0.055	0.35	0.000*	0.000*	9.76
PLT K/ μ L	68.0 \pm 44.8	14.18	58.0	193.1 \pm 39.9	12.62	195.0	0.000*	0.000*	35.21
Gran.Neutr. %	5.78 \pm 12.1	3.82	0.0	63.4 \pm 7.5	2.36	62.9	0.000*	0.000*	9.12
Linfociti %	19.1 \pm 30.7	9.72	0.0	28.8 \pm 4.4	1.39	28.5	0.366	0.140	66.17
Fibrinogeno mg/dl	228.5 \pm 252.3	79.8	164.0	533.9 \pm 150.8	47.7	504.5	0.008*	0.009*	42.8

*differenza statisticamente significativa. PLT, piastrine; C-PRF, fibrina ricca di piastrine concentrata; S-PRF.

Tabella S3. Confronto tra valori di fibrinogeno e cellule in A-PRF liquid 1300 x 5' in provetta S-PRF Sticky e sangue intero.

Tipo	A-PRF Liquid S-PRF Sticky (1300 rpm x 5 min)			Sangue			t-test di Student	Test U di Mann-Whitney	Contenuto %
	Media \pm D.S.	Errore Standard	Mediana	Media \pm D.S.	Errore Standard	Mediana			
Monociti K/ μ L	0.10 \pm 0.15	0.047	0.0	0.30 \pm 0.12	0.039	0.30	0.001*	0.012*	33.33
PLT K/ μ L	198.8 \pm 116.3	36.77	198.5	203.4 \pm 58.1	18.37	205.0	0.901	0.910	97.74
Gran.Neutr. %	37.06 \pm 12.6	3.99	37.4	68.7 \pm 8.0	2.53	67.6	0.000*	0.000*	53.97
Linfociti %	50.45 \pm 13.8	4.36	43.5	26.1 \pm 6.4	2.02	27.5	0.000*	0.000*	193.10

Fibrinogeno mg/dl	283.1±136.5	43.2	336.0	323.4±85.2	26.9	323.5	0.278	0.597	87.54
----------------------	-------------	------	-------	------------	------	-------	-------	-------	-------

*differenza statisticamente significativa. PLT, piastrine; A-PRF, fibrina ricca di piastrine avanzata; Provetta S-PRF Sticky.

Tabella S4. Confronto tra valori di fibrinogeno e cellule in A-PRF Liquid 1300 x 5' in provetta fibrinogeno liquido Vacumed e sangue intero.

Tipo	A-PRF Liquid Vacumed FL (1300 rpm x 5 min)			Sangue			t-test di Student	Test U di Mann-Whitney	Contenuto %
	Media±D.S.	Errore Standard	Mediana	Media±D.S.	Errore Standard	Mediana			
Monociti K/μL	0.19±0.22	0.058	0.2	0.34±0.19	0.051	0.30	0.049*	0.007*	54.90
PLT K/μL	226.5±112.4	29.03	239.0	195.9±49.5	12.79	182.0	0.331	0.221	115.58%
Gran.Neutr. %	37.06±12.6	3.99	37.4	69.6±7.3	1.88	68.1	0.000*	0.000*	47.12
Linfociti %	44.97±23.5	6.08	48.8	24.7±6.6	1.704	27.7	0.001*	0.002*	182.32
Fibrinogeno mg/dl	320.5±133.2	34.4	332.0	364.1±98.3	25.4	323.5	0.295	0.384	88.01

*differenza statisticamente significativa. A-PRF, fibrina ricca di piastrine avanzata; PLT, piastrine.

Tabella S5. Confronto tra valori di fibrinogeno e cellule in i-PRF liquid 700 x 5' in provetta S-PRF Sticky e sangue intero.

Tipo	i-PRF S-PRF Sticky (700 rpm x 5 min)			Sangue			t-test di Student	Test U di Mann-Whitney	Contenuto %
	Media±D.S.	Errore Standard	Mediana	Media±D.S.	Errore Standard	Mediana			
Monociti K/μL	0.44±0.28	0.089	0.40	0.520±0.17	0.053	0.55	0.466	0.344	84.62
PLT K/μL	249.1±153.3	48.47	234.5	227.5±95.5	30.19	206.5	0.427	0.678	109.49
Gran.Neutr. %	42.54±11.2	3.54	43.1	65.6±22.6	7.14	70.1	0.008*	0.004*	64.84
Linfociti %	51.41±9.9	3.29	50.0	21.2±9.97	3.33	20.3	0.000*	0.000*	242.12
Fibrinogeno mg/dl	373.3±263.4	83.3	330.0	427.6±200.2	63.3	369.0	0.279	0.385	87.3

*differenza statisticamente significativa. i-PRF, fibrina ricca di piastrine iniettabile; Provetta S-PRF Sticky; PLT, piastrine.

Tabella S6. Confronto tra valori di fibrinogeno e cellule in i-PRF liquid 700 x 5' in provetta fibrinogeno liquido Vacumed e sangue intero.

Tipo	i-PRF Vacumed FL (700 rpm x 5 min)			Sangue			t-test di Student	Test U di Mann-Whitney	Contenuto %
	Media±D.S.	Errore Standard	Mediana	Media±D.S.	Errore Standard	Mediana			

Monociti K/ μ L	0.49 \pm 0.23	0.060	0.60	0.387 \pm 0.20	0.052	0.30	0.088	0.206	127.59
PLT K/ μ L	247.4 \pm 130.8	33.78	253.0	195.9 \pm 72.9	18.83	180.0	0.070	0.290	126.27
Gran.Neutr. %	45.65 \pm 10.9	2.80	44.8	70.6 \pm 6.4	1.65	71.0	0.000*	0.000*	64.63
Linfociti %	44.94 \pm 10.8	2.78	46.3	23.3 \pm 7.8	2.01	21.4	0.006*	0.000*	192.99
Fibrinogeno mg/dl	300.3 \pm 218.4	72.8	330.0	441.9 \pm 152.3	50.8	387.0	0.107	0.158	67.97

*differenza statisticamente significativa. i-PRF fibrina ricca di piastrine iniettabile; FL, fibrinogeno liquido; PLT, piastrine.

Tabella S7. Confronto tra valori di fibrinogeno e cellule in i-PRF liquid 3300 x 3' in provetta S-PRF Sticky e sangue intero.

Tipo	i-PRF S-PRF Sticky (3300 rpm x 3 min)			Sangue			t-test di Student	Test U di Mann-Whitney	Contenuto %
	Media \pm D.S.	Errore Standard	Mediana	Media \pm D.S.	Errore Standard	Mediana			
Monociti K/ μ L	0.03 \pm 0.067	0.021	0.00	0.330 \pm 0.095	0.030	0.30	0.000*	0.000*	9.09
PLT K/ μ L	100.7 \pm 55.2	17.47	99.0	186.4 \pm 36.7	11.60	187.0	0.000*	0.003*	54.02
Gran.Neutr. %	10.90 \pm 13.4	4.25	5.5	68.8 \pm 10.2	3.23	70.10	0.000*	0.000*	15.87

Linfociti %	31.80±34.3	10.85	25.0	23.5±8.44	2.67	21.55	0.466	0.970	135.43
Fibrinogeno mg/dl	457.4±134.5	42.52	402.0	468.6±103.7	32.8	430.5	0.837	0.364	97.6

*differenza statisticamente significativa. i-PRF fibrina ricca di piastrine iniettabile; Provetta S-PRF Sticky; PLT, piastrine.

Tabella S8. Confronto tra valori di fibrinogeno e cellule in i-PRF liquid 3300 x 3' in provetta fibrinogeno liquido Vacumed e sangue intero.

Tipo	i-PRF Vacumed FL (3300 rpm x 3 min)			Sangue			t-test di Student	Test U di Mann-Whitney	Contenuto %
	Media±D.S.	Errore Standard	Mediana	Media±D.S.	Errore Standard	Mediana			
Monociti K/μL	0.05±0.1	0.027	0.0	0.39±0.15	0.038	0.40	0.000*	0.000*	13.56
PLT K/μL	79.9±67.8	17.5	56.0	188.0±36.1	9.32	191.0	0.000*	0.000*	42.52
Gran.Neutr. %	13.3±14.6	3.76	10.0	66.2±78.0	3.04	69.0	0.015*	0.000*	20.10
Linfociti %	51.2±34.7	8.96	60.0	25.6±11.3	2.92	22.1	0.011*	0.038*	200.37
Fibrinogeno mg/dl	358.3±184.3	47.6	351.0	456.0±122.8	31.7	416.0	0.099	0.147	84.44

*differenza statisticamente significativa. i-PRF fibrina ricca di piastrine iniettabile; FL, fibrinogeno liquido; PLT, piastrine.

Tabella S9. Confronto tra valori di fibrinogeno e cellule in fibrinogeno liquid 2700 x 3' in provetta S-PRF Sticky e sangue intero.

Tipo	Fibrinogeno Liquid Sticky (2700 rpm x 3')			Sangue			t-test di Student	Test U di Mann-Whitney	Contenuto %
	Media±D.S.	Errore Standard	Mediana	Media±D.S.	Errore Standard	Mediana			
Monociti K/μL	0.15±0.31	0.097	0.05	0.370±0.177	0.055	0.30	0.067	0.004*	40.54
PLT K/μL	114.1±52.2	16.5	100.0	202.2±44.7	14.14	192.0	0.000*	0.005*	56.43
Gran.Neutr. %	22.70±22.0	6.95	15.0	70.38±4.2	1.33	70.50	0.000*	0.000*	32.25
Linfociti %	48.40±31.9	10.12	59.0	22.5±3.49	1.10	23.60	0.020*	0.034*	215.02
Fibrinogeno mg/dl	192.9±222.4	70.32	99.0	397.3±136.7	43.2	369.0	0.023*	0.031*	47.36

*differenza statisticamente significativa. PLT, piastrine.

Tabella S10. Confronto tra valori di fibrinogeno e cellule in fibrinogeno liquid 2700 x 3' in provetta fibrinogeno liquido Vacumed e sangue intero.

Tipo	Fibrinogeno Vacumed FL (2700 rpm x 3')			Sangue			t-test di Student	Test U di Mann-Whitney	Contenuto %
	Media±D.S.	Errore Standard	Mediana	Media±D.S.	Errore Standard	Mediana			
Monociti K/μL	0.04±0.063	0.016	0.00	0.319±0.147	0.052	0.30	0.000*	0.000*	12.55

PLT K/ μ L	105.1 \pm 74.8	18.7	196.0	202.2 \pm 37.1	9.28	216.0	0.000*	0.000*	51.47
Gran.Neutr. %	20.79 \pm 22.4	5.6	14.0	65.8 \pm 8.6	2.15	68.50	0.000*	0.000*	31.61
Linfociti %	61.5 \pm 26.5	7.0	71.20	27.1 \pm 8.14	2.0	23.85	0.000*	0.000*	227.19
Fibrinogeno mg/dl	248.7 \pm 168.3	42.07	302.5	349.2 \pm 126.1	31.53	363.50	0.010*	0.022*	63.10

*differenza statisticamente significativa. PLT, piastrine; FL, fibrinogeno liquido.

Tabella S11. Confronto tra valori di fibrinogeno e cellule in PRP 2200 x 20 min in provetta PRP BioReb Gel e con doppia centrifugazione e sangue intero.⁷

Tipo	PRP (PRP BioReb Gel (2200 rpm x 20 min) e doppia centrifugazione)			Sangue			t-test di Student	Test U di Mann-Whitney	Contenuto %
	Media \pm D.S.	Errore Standard	Mediana	Media \pm D.S.	Errore Standard	Mediana			
Monociti K/ μ L	0.0 \pm 0.0	0.0	0.0	0.33 \pm 0.11	0.028	0.3	0.000*	0.000*	0.0
PLT K/ μ L	35.9 \pm 62,4	1.96	10.0	202.9 \pm 54.2	14.32	215.0	0.000*	0.000*	17.70
Gran.Neutr. %	1.8 \pm 6,27	1.47	0.0	66.1 \pm 5.5	1.32	67.0	0.000*	0.000*	2.72
Linfociti %	12.9 \pm 30.3	4.40	0.0	28.0 \pm 5.3	1.38	26.8	0.000*	0.000*	46.1

Fibrinogeno mg/dl	120.9±120.9	49.3	0.0	417.4±125.3	32.98	374.0	0.001*	0.002*	29.0
----------------------	-------------	------	-----	-------------	-------	-------	--------	--------	------

*differenza statisticamente significativa. PRP, fibrina ricca di piastrine; PLT, piastrine.